

## 남부오가피잎의 성분 및 정량

조형권 · 함인혜 · 황완균 \*

중앙대학교 약학대학

(Received March 9, 1999)

### Constituents and Quantitative analysis from the Leaves of *Acanthopanax divaricatus* f. *nambunensis*

Hyoung Kwon Cho, Inhye Ham and Wan Kyunn Whang\*

College of Pharmacy, Chung-Ang University, Seoul 156-756, Korea

**Abstract** – From the water fraction of the MeOH extract, three compounds, 1,3,4,5-tetrahydroxycyclohexanecarboxylic acid 3-(3,4-dihydroxycinnamate) (chlorogenic acid), quercetin 3-O- $\beta$ -D-galactopyranoside (hyperoside), and 1(R)-hydroxy-3,4-seco-lup-4(23), 20(30)-dien-3,11 $\alpha$ -olactone- $\alpha$ -L-rhamnopyranosyl(1  $\rightarrow$  4)- $\beta$ -D-glucopyranosyl(1  $\rightarrow$  6)- $\beta$ -L-glucopyranosyl ester (chiisanoside) were isolated and their structures determined by  $^1$ H-NMR,  $^{13}$ C-NMR, IR, and FAB-Mass. Chlorogenic acid and Chiisanoside had been quantitated by HPLC from eight Acanthopanax species per 10 g *A. koreanum* 19.82, 4.17 mg, *A. nambunensis* 65.00, 1.86 mg, *A. chiisanense* 67.19, 4.72 mg, *A. albofructus* 69.58, 4.96 mg, *A. chungbunensis* 31.96, 6.73 mg, *A. pedunculus* 13.95, 1.52 mg, *A. senticosus* 27.19, 8.17 mg, *A. sessiliflorum* 7.49, 5.88 mg.

**Keywords** □ *Acanthopanax divaricatus* f. *nambunensis*, chlorogenic acid, hyperoside, chiisanoside, HPLC.

남부오가피나무 *Acanthopanax divaricatus* f. *nambunensis* C.S.Yook(Araliaceae)는 우리 나라 특산으로서 주로 남부지방에서 자생하는 낙엽관목이다.<sup>1)</sup> 우리나라에는 상기의 남부오가피 외에 오가피(*A. sessiliflorum*), 지리산오가피(*A. chiisanense*), 중부오가피(*A. sessiliflorum* f. *chungbunensis*), 가시오가피(*A. senticosus*), 섬오가피(*A. koreanum*), 및 흰털오가피(*A. divaricatus* var. *albofructus*), 참오가피(*A. pedunculus*) 나무 등 다양한 종이 야생 또는 재배되고 있다.<sup>2)</sup>

생약으로 오가피나무속 식물의 근피와 수피를 五加皮 (*Acanthopanax cortex*)라 하여 사용하고 있고 본초 서인 신농본초경에는 상품(上品)에 수재 되어 있으며 성미(性味)가 신온(辛溫)하여 거풍습(去風濕), 장근골(壯筋骨), 강요술(強要膝)하며 주치(主治)는 습비(濕痺), 각기(脚氣), 피부풍습(皮膚風濕),

요술동통(腰膝疼痛), 양위급음낭습양(陽萎及陰囊濕?),<sup>3)</sup> 쿨신불리(屈神不利), 보간신(補肝腎) 등이다.

오가피속 식물중 잎에 대한 성분연구를 보면, *A. chiisanense*에서 3,4-seco-lupane glycosides(chiisanoside), acanthoside D<sup>4)</sup>를, *A. divaricatus*에서 chiisanoside, iso-chiisanoside, hyperin<sup>5)</sup>을, *A. hypoleucus*에서 hederagenin glucoside 와 oleanolic acid glucoside,<sup>6)</sup> *A. sciadophylloides*에서 taraxerol, phytol<sup>7)</sup>을, *A. senticosus*에서 eleutherosides I-M, ciwujianosides, friedelin, iso-fraxidin 및 senticosides A-F 등<sup>8)</sup>을, *A. sessiliflorum*에서 chiisanoside, acantopanaxosid<sup>9)</sup>를, *A. sieboldiana*에서 sieboldianoside A, B, kalopanax saponon A, B, sapinoside B 및 kaempferol-3-O-rutinoide 등<sup>10)</sup>을, 그리고 *A. tricodon*에서 bauerenyl acetate, ent-kaur-16-en-19-oic acid, chlorogenic acid<sup>11)</sup>를 분리보고 하였다.

야리활성은 chiisanoside가 anti-histamine 활성, ephedrine과 alloxan으로 유도된 당뇨에 대해 혈당강

\* 본 논문에 관한 문의는 이 저자에게로  
(전화) 02-820-5611 (팩스) 02-816-7338

하작용, 사염화탄소로 유도된 간의 parenchymal cell의 손해를 막는 효과가 있고, MTT assay에 의한 항암효과는 cisplatin에 비해 조금 낮았지만 신독성은 cisplatin에 비하여 현저히 낮은 수치를 나타내었고, lignan glycoside 계열은 C-labeled amino acid의 단백질 합성에 있어서 amino acid에 incorporation을 항진시켜준다고 발표된 바 있다.<sup>12)</sup> 또한 chlorogenic acid는 항바이러스 효과,<sup>13)</sup> 항산화 효과,<sup>14)</sup> 간·신에 대한 효과<sup>15)</sup> 가 보고되어 있다.

이상과 같이 현재까지 많은 오가피속 식물에 대한 성분연구가 진행되어 왔으나, 남부오가피에 대한 성분 연구 및 기원에 대한 chemotaxonomy가 없음에 착안하여 먼저 잎에 대한 성분분리 및 분리된 성분의 정량을 실시하였다.

## 실험방법

### 실험재료

우리 나라에 자생하는 오가피속 식물 중 남부지방에 자생하는 남부오가피 *Acanthopanax divaricatus* f. *nam-bunensis*를 1996년 8월 중앙대학교 약초원에서 채집하여 감정을 거친 후 그 잎을 세절하여 사용하였다. 함량실험에 사용된 8종의 시료는 1998년 6월 중앙대학교 약초원 및 전국각지에 자생하는 것을 채집, 식물학적 감정을 거친 후 사용하였다. 실험에 사용된 기기로 IR Spectrophotometer는 Nicolet FT-IR 및 Magna-750(U.S.A.)를 MassSpectrometer는 VG70-VSEQ(En-gland)를 그리고 <sup>1</sup>H-NMR 와 <sup>13</sup>C-NMR Spectrometer는 Varian Gemini 2000(U.S.A.)를 사용하였다.

### 엑스의 제조

신선한 재료 2kg을 MeOH 20l로 상온에서 냉침, 추출하고 감압 농축하여 MeOH엑스 320g을 얻었다. 여기에 정제수를 넣고 진탕한 후 여과하여 얻은 여액을 chloroform으로 5회 반복 처리하여 분획한 후, 수중을 감압 농축하여 엑스 180g을 얻었다.

### Compound I, II, III의 분리

수중 분획(180g)을 DIAION HP-20 수지로 column chromatography 하여 H<sub>2</sub>O, 20% MeOH, 40% MeOH, 60% MeOH 및 100% MeOH 분획을 얻었으며 20% MeOH 분획물을 Sephadex LH-20 column chro-

matography(전개용매 : 10% MeOH)를 이용하여 Compound I 을 단리하였다. 또, 40% MeOH 분획물을 Sephadex LH-20( 전개용매 : EtOH)으로 반복하여 column chromatography를 하여 Compound II를 단리하였다. 또한, 60% MeOH 분획물을 반복적으로 Sephadex LH-20 column chromatography( 전개용매 ; 1) 50, 80% MeOH 2) 30% MeOH)를 실시한 후 ODS column chromatography( 전개용매 ; 40% MeOH)로 정제하여 compound III를 얻었다.

### Compound I

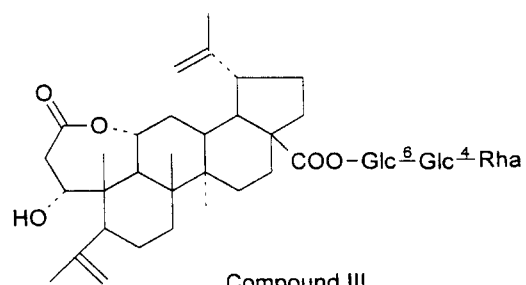
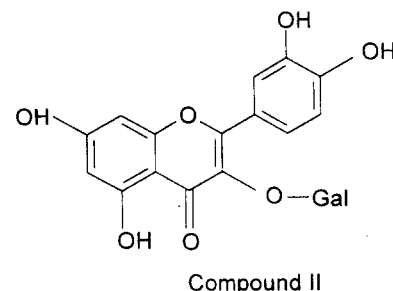
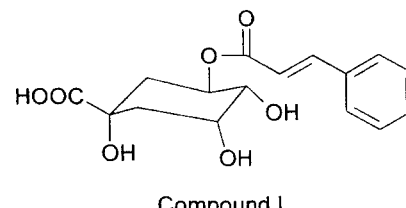
m.p. : 208°

IR<sub>v</sub><sup>KBr</sup> cm<sup>-1</sup> : 3420(OH), 1697(COO), 1607, 1520, 1455(aromatic C=C)

(-)FAB-MS : 353[M-H]<sup>-</sup>, 191[M-(caffeooyl+H)]<sup>-</sup>

<sup>1</sup>H-NMR(300MHz, DMSO-d<sub>6</sub>)

δ ppm: 7.42(1H, d, J=15.9Hz, H-8'), 7.04(1H, d,



$J=1.5\text{Hz}$ , H-2'), 6.99(1H, d,  $J=8.4\text{Hz}$ , H-5'), 6.77(1H, d,  $J=8.1\text{Hz}$ , H-6'), 6.15(1H, d,  $J=15.6\text{Hz}$ , H-7), 5.07 (1H, d,  $J=11.1\text{Hz}$ , H-3)

$^{13}\text{C-NMR}$ (75MHz, DMSO- $d_6$ )

$\delta$  ppm : 73.4(C-1), 37.1(C-2), 68.0(C-3), 70.8(C-4), 70.3(C-5), 36.1.(C-6), 175.1(C-7), 125.6(C-1), 114.3(C-2), 145.0(C-3'), 148.4(C-4'), 115.8(C-5'), 121.4(C-6'), 145.6(C-7'), 114.8(C-8'), 165.9(C-9')

### Compound II

m.p : 229~239°

IR  $\nu_{\text{max}}^{\text{KBr}}$  cm<sup>-1</sup> : 3428(OH), 1658(C=O), 1606(C=C), 1088, 1020(glycosidic CO)

(+)FAB-MS : 465[M+H]<sup>+</sup>, 303[M+H-Glc]<sup>+</sup>

$^1\text{H-NMR}$ (300MHz DMSO- $d_6$ )

$\delta$  ppm : 7.04(1H, dd,  $J=1.8$ , 8.4Hz, H-6'), 7.51(1H, d,  $J=2.1\text{Hz}$ , H-2'), 6.80(1H, d,  $J=8.4\text{Hz}$ , H-5'), 6.38(1H, d,  $J=2.1\text{Hz}$ , H-8), 6.18(1H, d,  $J=1.5\text{Hz}$ , H-6), 5.35(1H, d,  $J=7.5\text{Hz}$ , Gal anomeric H)

$^{13}\text{C-NMR}$ (75MHz, DMSO- $d_6$ )

$\delta$  ppm: 156.6(C-2), 133.7(C-3), 177.8(C-4), 161.5(C-5), 98.9(C-6), 164.5(C-7), 93.7(C-8), 156.5(C-9), 104.1(C-10), 121.3(C-1'), 115.4(C-2'), 145.1(C-3'), 148.7(C-4') 16.2(C-5'), 122.2(C-6'), 102.0(C-1''), 71.4(C-2''), 73.3(C-3''), 68.0(C-4''), 76.0(C-5''), 60.3(C-6'')

### Compound III

m.p : 228°

IR  $\nu_{\text{max}}^{\text{KBr}}$  cm<sup>-1</sup> : 3400(OH), 2936(CH), 1711(C=O), 1641(C=C), 1377(CH<sub>3</sub>), 1311(COO), 1066(glycosidic CO)

(+)FAB-MS : 993 [M+K]<sup>+</sup>, 809 [M-rha]<sup>+</sup>, 647 [M-glc-rha]<sup>+</sup>, 483[aglycone]

$^1\text{H-NMR}$ (300MHz, pyridine- $d_5$ )

$\delta$  ppm : 1.04(3H, s, quarternary-CH<sub>3</sub>), 1.16, 1.91(each 3H × 2, d, quarternary CH3), 1.71(3H, d,  $J=6.0\text{Hz}$ , rha angular methyl), 3.95(1H, t,  $J=7.0\text{Hz}$ , 11-H), 5.05, 5.16, 4.68, 4.94(each 1H, s, 23-, 30-CH<sub>2</sub>), 5.02(1H, d,  $J=8.1\text{ Hz}$ , Glc anomeric H), 5.85(1H, s, rha anomeric H), 6.39(1H, d,  $J=8.1\text{ glc anomeric H }$ )

$^{13}\text{C-NMR}$ (75MHz, pyridine- $d_5$ )

$\delta$  ppm : 75.3(C-1), 38.9(C-2), 173.4(C-3), 148.0(C-4), 49.7(C-5), 26.8(C-6), 33.7(C-7), 41.8(C-8), 44.2(C-9), 44.2(C-10), 70.6(C-11), 32.4(C-12), 35.1(C-13), 42.3(C-14), 30.8(C-15), 32.4(C-16), 61.3(C-17), 44.4(C-18), 47.9(C-19), 150.8(C-20), 29.1(C-21), 36.8(C-22), 114.1(C-23), 25.3(C-24), 18.8(C-25), 18.0(C-26), 13.8(C-27), 175.3(C-28), 19.2(C-29), 111.3(C-30), 95.71(Glc C-1), 74.2(Glc C-2), 78.4(Glc C-3), 70.9(Glc C-4), 76.5(Glc C-5), 69.5(Glc C-6), 105.3(Glc C-1), 75.5(Glc C-2'), 77.2(Glc C-3'), 78.9(Glc C-4'), 78.4(Glc C-5'), 63.0(Glc C-6'), 103.0(Rha C-1''), 72.8(Rha C-2''), 72.7(Rha C-3''), 74.1(Rha C-4''), 70.4(Rha C-5''), 18.5(Rha C-6'')

### Compound I 및 Compound III의 함량분석

a. 검액의 조제 : 잎을 음전하여 세밀로 한 다음 10g을 정밀히 달아 MeOH을 넣고 수육상에서 3시간 가열, 추출한 다음 여과하여 감압 농축한다. 다음 H<sub>2</sub>O를 넣어 녹이고 Ether를 넣어 탈지한 후 수충을 취하여 감압 농축한 후 MeOH를 가하여 50mL로 한 것을 검액으로 한다.

b. 표준액의 조제 : 분리된 Compound I(chlorogenic acid)과 Compound III(chiisanoside)를 각각 10mg씩 정밀히 달아 volumetric flask에 넣고 MeOH을 넣어 용해시킨 후 다시 MeOH를 가해 50mL로 한 것을 표준액으로 한다.

c. 기기 및 분석 조건 :

. pump; WATERS<sup>TM</sup> 600

. column; Bondapak C<sub>18</sub>(φ 3.9 × 300 mm)

. mobile phase; 0.1%TFA MeOH : 0.1%TFA H<sub>2</sub>O (32 : 68); 90% MeOH : 10% Water(90 : 10)

. detector; UV-Detecter(254 nm), (209 nm)

. flow rate; 1.0 mL/min

d. 계산식

함량(mg) = 표준품의 양(mg) × Ru/Rs

Ru = 검액의 peak 면적

Rs = 표준액의 peak 면적

### 결과 및 고찰

우리나라 남부지방 자생식물인 남부오가피나무 (*Acanthopanax divaricatus* f. *nabunensis*)의 신선한

잎을 천연물 약품화학적 접근으로 MeOH 엑스를 얻어 chloroform으로 탈지한 후 그 모액을 DIAION HP-20 을 이용하여 column chromatography 하여 H<sub>2</sub>O, 20 %, 40%, 60%, MeOH 분획으로 나누었으며 그 분획을 Sephadex LH-20, ODS gel 등으로 각각 column chromatography 하여 Compound I, II 및 III를 단리하였다.

Compound I과 Compound III의 함량비교는 표준 액과 검액의 peak의 면적을 계산하여 정량하였다.

**Compound I** – Compound I은 mp 208°의 무색 powder이고 IR Spectrum은 3420(OH), 2361(C-H), 1697(C=O), 1607(C=C)등에서 강한 흡수 band 가 나타나는 것으로 보아 phenol성 화합물로 추정되었다. Negative FAB-Mass spectrum에서 *m/z* 353에서 [M-H]<sup>-</sup>의 molecular ion peak를 확인할 수 있었으며, *m/z* 191에서 caffeoyl 1분자가 탈락된 fragment ion peak를 관찰할 수 있었다.

<sup>1</sup>H-NMR spectrum을 보면 87.04 ppm의 doublet signal은 *J*=1.5Hz으로 H-2'임을 추정할 수 있었고 86.99 ppm 및 86.77 ppm의 doublet signal은 *J*=8.1Hz로 H-6' 및 H-5'가 ortho-coupling 함을 추정할 수 있었다. 또한 caffeic acid와 quinic acid의 결합은 문헌<sup>20)</sup>과의 비교에서 83.93 ppm의 H-5와 83.56 ppm의 H-4만이 broad singlet로 나타나고 있고 H-3이 85.11 ppm에서 down field되어 관찰되는 것으로 보아 quinic acid C-3에 caffeic acid가 결합되어 있음을 추정할 수 있었다. 또한 87.42 ppm의 doublet (*J*=15.9Hz)와 86.15 ppm의 doublet(15.6Hz)는 caffeoyl의 7번, 8번 이중결합의 proton이 trans 위치에 있음을 추정할 수 있었다.

한편 <sup>13</sup>C-NMR spectrum을 보면, 8160~186 ppm에서 나오는 carboxyl기의 peak가 8175.1 ppm에서 나타나고 있고, 또한 8165.9 ppm에서 ester결합에 의한 signal이 관측되며, caffeoyl의 C-1 및 C-2는 836.1 ppm 및 837.1 ppm에서 관측되었다.

이상의 기기분석의 결과와 참고문헌<sup>18)</sup>과의 비교로 Compound I을 1,3,4,5-tetrahydroxycyclohexanecarboxylic acid 3-(3,4-dihydroxycinnamate)인 chlorogenic acid로 확인 동정하였다.

**Compound II** – Compound II는 mp 229~239°의 황색 결정으로 Mg+HCl반응에서 양성이며 IR spectrum에서 3428(OH), 1658( $\alpha$ ,  $\beta$ -unsaturated C=O),

1606, 1496(aromatic C=C), 1088, 1020(glucosidic CO)에서 강한 흡수대를 나타내므로 flavonoid로 추정하였다. Positive FAB-Mass에서 *m/z* 465에서 [M+H]<sup>+</sup>의 molecular ion peak가 관측되었고, hexose가 탈락된 *m/z* 303의 fragment ion peak가 관측되는 것으로 보아 quercetin 모핵에 hexose가 결합되었음을 알 수 있었다.

<sup>1</sup>H-NMR spectrum에서는 87.64 ppm의 doublet doublet signal(*J*=1.8, 8.4Hz)은 H-6'로, 87.51 ppm의 doublet(*J*=2.1Hz)를 H-2'로, 86.80 ppm의 d (*J*=8.4Hz)를 H-5'로 추정 할 수 있었고, 또한 86.38 ppm 및 86.18 ppm의 doublet signal은 *J*=2.1Hz로 meta-coupling하고 있음을 시사하여 주소 H-8 및 H-6로 추정하였다. 그리고 85.35 ppm의 anomeric proton은 *J*=7.5Hz로서 당이  $\beta$ -D-galactose 임을 추정할 수 있었다. <sup>13</sup>C-NMR spectrum에서 C-3가 8133.7 ppm으로 down field shift하여 나타나므로 C-3의 OH가 치환되어 있음을 알 수 있었고 8177.8 ppm에서 carbonyl기에 기인하는 signal을 확인하였다.

이상의 결과로, Compound II는 quercetin의 aglycone에  $\beta$ -D-galactose가 C-3에 결합되어 있는 O-glycoside로 기기분석 및 문헌<sup>19)</sup>과의 비교로 quercetin-3-O- $\beta$ -D-galactopyranoside 즉 hyperoside로 동정하였다.

**Compound III** – Compound III은 mp 228°의 무색 침상 결정으로 Liebermann-Buchard반응에서 양성이며 TLC에 의해 10%황산에서 짙은 보라색으로 발색하였으며 IR spectrum에서 3400(OH), 2936(C-H), 1711, 1641(C=C), 1066(glucosidic C-O)등에서 강한 흡수 band가 나타나는 것으로 보아 triterpenoid계 saponin 화합물로 추정되었다.

이 화합물의 positive FAB-Mass spectrum을 보면 *m/z* 993에서 [M+K]<sup>+</sup>의 molecular ion peak를 확인할 수 있었으며, *m/z* 809, 647 및 483에서 각각 rhamnose, glucose 및 glucose가 각각 1 mole 씩 탈락된 fragment ion peak를 관찰할 수 있었다.

<sup>1</sup>H-NMR spectrum을 보면 angular methyl signal 3개가 81.04(s), 1.16(d) 및 1.91(d)에서 관측되고 이중 결합에 해당하는 proton이 85.05, 5.16 ppm 및 84.68, 4.94 ppm에서 관측되는 것으로 보아 2개의 exo double bond가 존재하는 lupane계 화합물로 추정할 수 있었다. 또한 C-11의 proton signal이 86.95 ppm에서 triplet

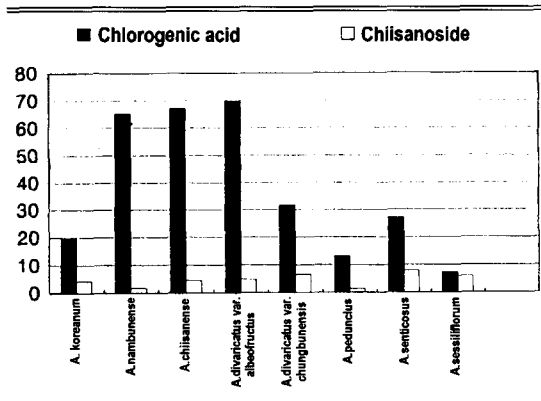
로  $J=7.0\text{Hz}$ 로 저자장 shift하고 있어 lupane계중 C-11이 lactone 형태로 결합된 3,4-seco-lupan 계 triterpene 임을 추정할 수 있었다.

한편, 당의 anomeric proton을 보면 저자장 shift하고 있는 86.39 ppm의 anomeric proton은 doublet로  $J=8.1\text{Hz}$ 로서 aglycone의 -COO와 ester 결합한  $\beta$ -D-glucose이고, 또한 middle  $\beta$ -D-glucose로서  $\delta$  5.02 ppm에서 doublet로  $J=8.1\text{Hz}$ 로 나타났고, 말단 당으로 rhamnose가 85.85 ppm에서 singlet로 관측되고 rhamnose C-6에 해당하는 methyl이 81.71 ppm에서 doublet로  $J=6.0\text{Hz}$ 로 관측되어 3,4-seco-lupane의 C-28의 -COO에 2 mol의 glucose와 1 mol의 rhamnose가 결합된 monodesmoside 형 triterpene으로 추정하였다.

$^{13}\text{C-NMR}$  spectrum에서는 8175.3 ppm과 8173.4 ppm의 COOH 또는 ester group의 carbonyl carbon으로 보여 triterpene C-28의 전형적인 signal로 추정하였고 8173.4 ppm에서 lactone ring의 C-3에 기인하는 signal이 관측되어 triterpene 중 3,4-seco-lupan type임을 뒷받침해주고 있다. 또한 895.7 105.3 103.0에서의 3개의 signal은 anomeric carbon 임을 나타내므로 당부는 3개의 sugar unit으로 구성되어 있음을 알수있다. 또, angular methyl signal이 825.3, 19.3, 18.8, 18.5 및 13.9 ppm에서 나타나 compound III가 전형적인 3,4-seco-lupan type의 triterpene 배당체임을 알수 있었다.

이상의 기기분석의 결과와 참고 문헌<sup>20)</sup>과의 비교로 Compound III 을 1(R)-hydroxy-3,4-seco-lup-4(23),

Table I—Quantitative Determination of Chlorogenic acid and Chiisanoside by HPLC



20(30)-dien-3,11  $\alpha$ -olactone- $\alpha$ -L-rhamnopyranosyl(1 → 4)- $\beta$ -D-glucopyranosyl(1 → 6)- $\beta$ -L-glucopyranosyl ester(chiisanoside)로 동정하였다.

### Compound I 및 Compound III의 정량

Compound I(chlorogenic acid)의 정량—Compound I를 표준액 및 오가피 일 8종을 실험부에서와 같이 시료를 조제하여 같은 조건하에서 3회 비교한 결과 매 시료 10g당 남부오가피에서는 65 mg, 섬오가피에서는 19.82 mg, 가시오가피는 27.19 mg, 참오가피는 13.05 mg, 지리오가피는 67.19 mg, 중부오가피는 31.96 mg, 오가피는 7.49 mg 그리고 흰털오가피는 65.98 mg으로 나타났다 (Table I).

Compound III(chiisanoside)의 정량—Compound III 표준액 및 오가피 일 8종을 실험부에서와 같이 시료를 조제하여 같은 조건하에서 3회 비교한 결과 매 시료 10g당 남부오가피에서는 1.86 mg, 섬오가피에서는 4.17 mg, 가시오가피는 8.17 mg, 참오가피는 1.52 mg, 지리오가피는 4.72 mg, 중부오가피는 6.73 mg, 오가피는 5.88 mg 그리고 흰털오가피는 4.96 mg으로 나타났다 (Table I).

### 결 론

지금까지 많은 오가피속 식물에 대한 성분연구가 진행되어 왔으나 우리나라 특산이면서 그 성분연구가 전혀 없는 낙엽관목 남부오가피나무 *Acanthopanax divaricatus* f. *nambunensis* C.S. Yook(Araliaceae)의 신선한 잎에 대하여 천연물 약품 화학적 방법으로 처리, MeOH액스의 Water가용부로부터 화합물 3종을 단리하였고 그 구조를 각종 물리화학적 성상과 기기분석 (IR, 1H-NMR,  $^{13}\text{C-NMR}$ , Mass)을 통하여 각각 compound I는 chlorogenic acid(1,3,4,5-tetrahydroxycyclohexane-carboxylic acid 3-(3,4-dihydroxycinnamic acid) ( $\text{C}_{16}\text{H}_{18}\text{O}_9$ )), compound II는 hyperoside(quercetin-3-O- $\beta$ -D-galactopyranoside( $\text{C}_{21}\text{H}_{20}\text{O}_{12}$ )) 및 compound III는 1(R)-hydroxy-3,4-seco-lup-4(23), chiisanoside (20(30)-dien-3,11  $\alpha$ -olactone- $\alpha$ -L-rhamnopyranosyl(1 → 4)- $\beta$ -D-glucopyranosyl(1 → 6)- $\beta$ -L-glucopyranosyl ester( $\text{C}_{48}\text{H}_{74}\text{O}_{19}$ )로 확인, 동정하였다.

또한 오가피속에 대한 chemotaxonomy가 없었음에 착안하여, 오가피속 8종을 채집하여 남부오가피에서 분

리된 chlorogenic acid와 chiisanoside를 표품으로하여 HPLC로 정량을 실시하여 오가피속 기원의 chemotaxonomy에 대한 가능성을 얻었으며 그 결과 chlorogenic acid는 저위도지방에 자생하는 오가피에 많고, 고위도지방에 자생하는 오가피에는 chiisanoside의 함량이 높은 것으로 나타났으나 섬오가피의 경우는 두 그룹에 속하지 않는 것으로 나타났다. 특히 남부오가피의 잎은 chlorogenic acid 가 10 g 당 65 mg이나 함유되어 있어 chlorogenic acid을 이용한 의약품개발의 자원 식물로서 이용가능성이 높다고 사료된다.

### 감사의 말씀

본 연구는 보건의료기술연구개발사업지원으로 수행되었으며 지원에 감사드며 아울러 여러 오가피를 분류하여 주신 경희대학교 육창수교수님께도 감사드립니다.

### 문 헌

- 1) 육창수, 신민철, 박상용, 남준영, 이경순, 한덕룡, 성백우, 이우철 : 慶熙東西醫藥研究所報, 11, 1 (1994).
- 2) 육창수 : 原色韓國藥用植物圖鑑, 아카데미서적, 서울, p.370 (1989).
- 3) 한덕룡 : 現代生藥學, 進明出版社, 서울, p. 186 (1980).
- 4) Kasai, R., Matsumoto, K., Taniyasu, S., Tanaka, O., Kim, J. H. and Hahn, D. R. : 3,4-seco-lupane type-triterpene glycosyl ester from a Korean medicinal plant, *Acanthopanax chiisanensis* (Araliaceae). *Chem. Pharm. Bull.*, 34(8), 3284 (1986).
- 5) 육창수, 노영수, 서성훈, 임재윤, 한덕용 : 개오가피 성분 및 항암효과. 약학회지, 40(3), 251 (1996).
- 6) Kohda, H., Tanaka, S. and Yamaoka, Y. : Saponins from leaves of *Acanthopanax hypoleucus*. Makino. *Chem. Pharn. Bull.*, 38(12), 3380 (1990).
- 7) Kim, Y. H., Ryu, J. H. and Chung, B. S. : Diterpene glycoside from *Acanthopanax koreanum*. 생약학회지, 21(1), 49(1990).
- 8) Yasue, M., Kato, Y., Lin, Y.-M. and Sakakibara, J. : Studies on the constituents of *Acanthopanax sciadophylloides*. Franch et Sav. 3. Higher fatty acid esters of taraxerol. *Yakugaku Zasshi*, 90(3), 341 (1970).
- 9) 육창수, 이동호, 서윤교, 류경수 : 오갈피나무 *Acanthopanax sessiliflorum*의 성분연구(II). 생약학회지, 8(1), 31 (1977).
- 10) Sawada, H., Miyakoshi, M., Isoda, S., Ida, Y., and Shoji, J. : Saponins from leaves of *Acanthopanax sieboldianus*. *Phytochemistry*, 34(4), 1117 (1993).
- 11) Miyakoshi, M., Ida, Y., Isoda, S. and Shoji, J. : 3-alpha-hydroxy-oleanane-type-triterpene glycosyl ester from leaves of *Acanthopanax spinosus*. *Phytochemistry*, 34(6), 2599 (1993).
- 12) Yook, C. S. and Hahn, D. R. : Chemical components of *Acanthopanax divaricatus* and anticancer effects in leaves. *Yakhak hoeji*, 40(3), 251 (1996).
- 13) Robinson, W. E. : Dicaffeoylquinic acid inhibitors of human immunodeficiency virus integrase : Inhibition of the core catalytic domain of human immunodeficiency virus integrase. *Mol. Pharmacol.*, 50(4), 846 (1996).
- 14) Tsuchiya, T., Suzuki, O., and Igarash, K. : Protective effects of chlorogenic acid on paraquat-induced oxidative stress in rats. *Biosci Biotechnol Biochem*, 60(5), 765 (1996).
- 15) Arion, W. J., Canfield, W. K., Ramos, F. C., Su, M. L., Burger, H. J., Hemmerle, H., Schubert, G., Below, P., and Herling, A. W. : Chlorogenic acid analogue S 3483 : a potent competitive inhibitor of the hepatic and renal glucose-6-phosphatase systems. *J Arch Biochem Biophys.*, 351(2), 279 (1996).
- 16) Morishita, H. : Chromatographic separation and identification of naturally occurring chlorogenic acid by 1H-NMR spectroscopy and Mass spectroscopy. *J of chromatography*, 315, 253 (1984).
- 17) Jaromir, B. : Phenylpropanoid esters from *Lamium album* flowers. *Phytochemistry*, 38(4), 997 (1995).
- 18) Mourad, K. I. : Flavonol triglycosides from *Blacstonia perfoliata*. *Phytochemistry*, 29(4), 1283 (1990).
- 19) Miyakoshi, M., Ida, T., Isoda, S. and Shoji, J. : 3alpha-hydroxy-oleanane-type triterpene glycosyl esters from leaves of *Acanthopanax spinosus*. *Phytochemistry*, 34(6), 1599 (1993).